

# 纳米 CuO 的制备及其对 RDX 热分解特性的影响\*

洪伟良<sup>1</sup>, 刘剑洪<sup>1</sup>, 陈沛<sup>3</sup>, 田德余<sup>1,2</sup>, 赵凤起<sup>3</sup>

(1. 深圳大学 师范学院化学生物系, 广东 深圳 518060; 2. 国防科技大学 航天与材料工程学院, 湖南 长沙 410073;  
3. 西安近代化学研究所, 陕西 西安 710065)

**摘要:** 以  $\text{CuCl}_2 \cdot 2\text{H}_2\text{O}$  和  $\text{NaOH}$  为原料, 通过室温固相反应制备出纳米  $\text{CuO}$  粉末, 产物 ( $\text{CuO}$ ) 的平均粒径为 10 nm 左右。用 DSC 研究了纳米  $\text{CuO}$  对 RDX 热分解特性的影响。结果表明, 纳米  $\text{CuO}$  对 RDX 热分解有明显的催化作用, 它使 RDX 热分解峰温降低了 12 ℃, 其对 RDX 热分解特性的影响与普通  $\text{CuO}$  粉明显不同。

**关键词:** 硝胺推进剂; 纳米氧化铜; 热分解; 燃烧催化剂

中图分类号: V512.3 文献标识码: A 文章编号: 1001-4055 (2001) 03-0254-04

## Synthesis of nanometer CuO powder and its effect on thermal decomposition characteristics of RDX

HONG Weiliang<sup>1</sup>, LIU Jianhong<sup>1</sup>, CHEN Pei<sup>3</sup>, TIAN Deyu<sup>1,2</sup>, ZHAO Fengqi<sup>3</sup>

(1. Dept. of Chemistry and Biology, Normal Coll., Shenzhen Univ, Shenzhen 518060, China;  
2. Inst. of Aerospace and Material Engineering, National Univ. of Defence Technology, Changsha 410073, China;  
3. Xi'an Modern Chemistry Research Inst., Xi'an 710065, China)

**Abstract:** Nanometer  $\text{CuO}$  powder was synthesized by solid state reaction using  $\text{CuCl}_2 \cdot 2\text{H}_2\text{O}$  with  $\text{NaOH}$  at room temperature. Average particle sizes of nanometer  $\text{CuO}$  were about 10 nm. The effect of nanometer  $\text{CuO}$  on thermal decomposition characteristics of RDX was investigated by DSC. The results show that the peak temperature of thermal decomposition of RDX shifts 12 ℃ downward due to the effect of nanometer  $\text{CuO}$ . The effect of nanometer  $\text{CuO}$  on the thermal decomposition characteristics of RDX is different from that of normal  $\text{CuO}$ .

**Key words:** Nitramine propellant; Nanometer  $\text{CuO}$ ; Thermal decomposition; Combustion catalyst

## 1 引言

纳米粉体材料粒径小, 比表面积大, 表面原子多, 表面原子的晶场环境和结合能与内部原子不同, 由于配位不全而具有不饱和性质。另外, 纳米晶粒存在许多点阵缺陷, 成为高活性的反应中心。纳米材料作为燃速催化剂在固体推进剂中的应用研究已有文献报道<sup>[1~5]</sup>。氧化铜可作为固体火箭推进剂的燃速催化剂, 能提高燃速, 降低压强指数<sup>[6]</sup>。为研究纳米  $\text{CuO}$  的催化性能, 本文用室温固相反应制备出纳米  $\text{CuO}$  粉体, 用 X-射线衍射(XRD) 和透射电镜(TEM) 对纳米  $\text{CuO}$  的微观结构进行了表征。同时, 采用差示扫描量

热仪(DSC) 研究了纳米  $\text{CuO}$  粉体对 RDX 热分解特性的影响。

## 2 实验

### 2.1 氧化铜粉末的制备和表征

将  $\text{CuCl}_2 \cdot 2\text{H}_2\text{O}$  (分析纯) 和  $\text{NaOH}$  (分析纯) 按一定比例混合, 在室温下研磨, 使固相反应充分, 将混合物用蒸馏水、乙醇充分洗涤, 抽干, 然后真空干燥数小时, 即得纳米  $\text{CuO}$  粉末(褐黑色)。用中国上海 AA-320 型原子吸收光谱仪测定产物的纯度, 用中国丹东 Y-4Q 型 X-射线衍射仪测定产物的晶粒大小和相结构 ( $\text{Cu}$  靶), 用日本电子 JEM-1010 型透射电镜观察粒子

\* 收稿日期: 2000-08-29; 修订日期: 2000-11-28。基金项目: 国家重点实验室资助项目 (99JS35.4.1.QT5101)。

作者简介: 洪伟良 (1955—), 男, 讲师, 研究领域为有机合成和纳米材料的制备与应用研究。

的大小和形貌。

## 2.2 热分解实验

RDX 和炭黑(CB)均为化学纯;普通 CuO 粉(3 μm)(分析纯)。

用美国 TA 公司 DSC-910S 差示扫描量热仪,在常压下和氮气气氛中,测试了 RDX, RDX/纳米 CuO, RDX/炭黑/纳米 CuO 的热分解特性,试样用量≤2 mg,升温速度 10 °C/min。

## 3 结果与讨论

### 3.1 纳米氧化铜的表征

经原子吸收光谱测定,产物中 CuO 的含量为 97.8%,因此,产物是较纯的 CuO。

图 1 为纳米氧化铜粉末的 XRD 谱图,从图 1 中可看出纳米 CuO(a)与分析纯试剂 CuO(b)的 XRD 谱相似,均与 JCPDS 卡上的单斜相 CuO 的数据一致,属单斜晶系结构。但纳米 CuO 的特征衍射峰较低,且宽化成“馒头峰”,说明纳米 CuO 的晶粒尺度小,晶粒有大量缺陷,导致衍射线弥散。根据 XRD 谱特征衍射峰(111)的半峰宽,由 Scherrer 公式<sup>[7]</sup>计算得纳米 CuO 的粒径为 10 nm。

图 2 为纳米 CuO 的 TEM 图,由图 2 可见,产物粒子平均粒径为 10 nm 左右。两种方法测试的结果基本一致。

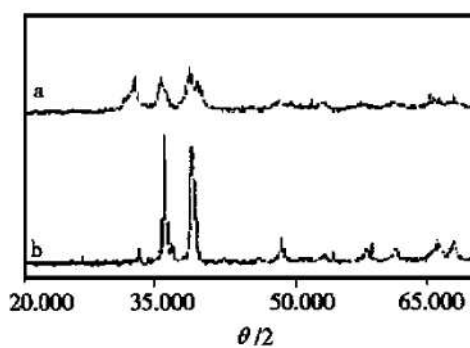


Fig. 1 XRD patterns of CuO

(a) Nanometer CuO; (b) Analytic grade CuO

### 3.2 纳米 CuO 对 RDX 热分解特性的影响

RDX/CuO 混合物(5:1)的 DSC 曲线如图 3 所示,RDX 分解放热峰的特性数据见表 1。(其中  $\Delta t$  表示峰宽,NCuO 为纳米 CuO, PCuO 为普通 CuO。下列各图表中均同)

从图 3 中可明显看出,普通 CuO 粉使 RDX 分解放热峰峰温向低温方向移动了 2.8 °C,而纳米 CuO 粉使其向低温方向移动了 6.3 °C,表明纳米 CuO 对 RDX 热分解具有明显的催化作用。从表 1 中的数据可以看出



Fig. 2 TEM micrograph of nanometer CuO

出,普通 CuO 对 RDX 的初始分解峰温(Tonset)基本没有影响,却使 RDX 分解峰宽增大,分解放热量稍有减小,这显示普通 CuO 降低了 RDX 的分解速率。纳米 CuO 使 RDX 的初始分解温度降低了 8.4 °C,分解放热峰宽变窄,对 RDX 分解放热量影响很小,这说明纳米 CuO 不但降低了 RDX 的分解温度,而且增大了 RDX 的分解速度,使 RDX 的分解放热更加集中,这将有利于 RDX 推进剂燃速的提高。

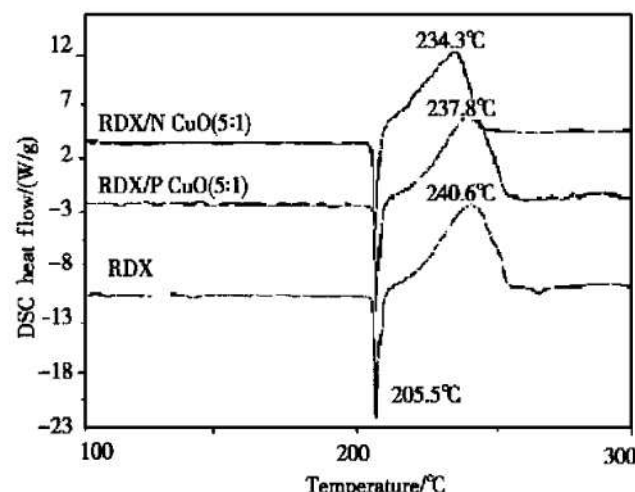


Fig. 3 DSC curves of RDX/CuO(5:1) at 0.1 MPa

Table 1 Data of thermal decomposition of RDX (0.1 MPa)

Samples	$\Delta t$ (°C)	Tonset/ °C	$\Delta H$ (J/g)
RDX	47.2	217.1	1 111
RDX/NCuO	38.9	208.7	1 064
RDX/PCuO	49.6	217.9	1 016

另外从图 3 中还可看出,普通 CuO、纳米 CuO 均对 RDX 的二次分解肩峰有影响,其中纳米 CuO 几乎消除了 RDX 的二次分解肩峰,使其后半峰变得比较

陡直。我们认为这主要是因为纳米 CuO 加快了 RDX 的分解速率,使得此肩峰被主峰掩盖,故其在 DSC 曲线上变得很不明显。

### 3.3 纳米 CuO 不同含量对 RDX 热分解特性的影响

含纳米 CuO 量不同的 RDX 的 DSC 曲线如图 4 所示, RDX 分解放热峰的特性数据见表 2。

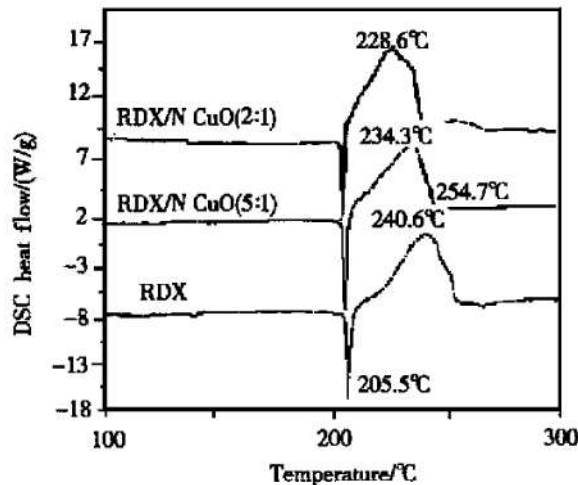


Fig. 4 DSC curves of RDX/nanometer CuO with different nanometer CuO content

Table 2 Effect of nanometer CuO content on decomposition of RDX

Samples	$\Delta t/^\circ\text{C}$	Tonset/ $^\circ\text{C}$	$\Delta H/(\text{J/g})$
RDX	47.2	217.1	1 111
RDX/NCuO(5:1)	38.9	208.7	1 064
RDX/NCuO(2:1)	36.2	202.9	1 388

从表 2 可看出,随纳米 CuO 含量增加,  $\Delta t$  变小,  $\Delta H$  增大,即 RDX 放热峰的峰宽变窄,反应速率增大,放热量增大且更集中,说明增大纳米 CuO 的用量,不仅加快了 RDX 分解的速度,而且增大了反应的深度,从而使分解放热量增多。从图 4 中能明显看到两处不同:(1)当纳米 CuO 与 RDX 的质量比由 1:5 变到 1:2 时,RDX 的分解放热峰峰温再次向低温方向移动了 5.7  $^\circ\text{C}$ ;(2)当 RDX/NCuO 比例为 2:1 时,RDX 分解放热峰的前半峰变得陡直,其二次分解的肩峰又变得明显了,而且还有一小放热峰(254.7  $^\circ\text{C}$ )与 RDX 分解放热峰紧密相连。以上两点说明,纳米 CuO 含量增加,一方面增大了它对 RDX 分解的催化作用;另一方面,由于纳米 CuO 比表面积大,吸附作用强,能吸附较多的反应气体,使这些气体的相对浓度增大,二次反应程度也相应加深,故二次分解肩峰又变得明显。另外,纳米 CuO 用量增加,有较多的纳米 CuO 存在于

RDX 分解残渣中,可能对残渣中的某些成分有催化作用,使其进一步分解而形成一个小放热峰。

### 3.4 纳米 CuO/炭黑混合物对 RDX 热分解特性的影响

RDX/炭黑(2:1)和 RDX/炭黑/纳米 CuO(2:1:1)两种组合试样的 DSC 曲线如图 5 所示, RDX 分解放热峰的特性数据见表 3。

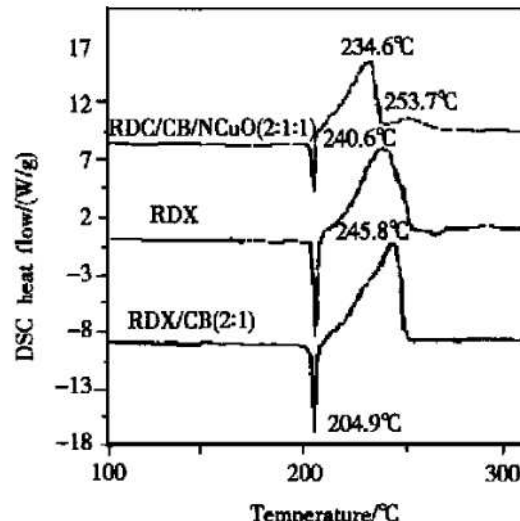


Fig. 5 DSC curves of RDX/CB/nanometer CuO at 0.1 MPa

Table 3 Effect of nanometer CuO/CB mixture on decomposition of RDX

Samples	$\Delta t/^\circ\text{C}$	Tonset/ $^\circ\text{C}$	$\Delta H/(\text{J/g})$
RDX	47.2	217.1	1 111
RDX/CB	45.9	223.4	1 264
RDX/CB/NCuO	35.6	201.7	771.2

从表 3 中可看到,在 RDX 中加入炭黑(CB)后,  $\Delta t$  减小,Tonset 升高,结合图 5 中 RDX/CB(2:1) 的 DSC 曲线,可得到如下结论:CB 抑制了 RDX 的前期分解,使 Tonset 升高,DSC 曲线的前半峰变得平缓,同时  $\Delta t$  又减小。说明 CB 加速了 RDX 的后期分解,即 DSC 曲线的后半峰变得陡直,CB 的这两种作用,必然导致 RDX 分解峰温后移。整体看,CB 加入后,RDX 分解的总体速率增大,同时放热量  $\Delta H$  也有所增加。

在 RDX 中加入纳米 CuO/CB 混合物后,  $\Delta t$  和 Tonset 均明显减小,说明纳米 CuO/CB 复合物对 RDX 的热分解有催化作用,使 RDX 初始分解温度降低,整个分解过程的速率增大,对应的 RDX 分解放热峰温向低温移动。但与单独的 RDX 或 RDX/纳米 CuO 混合物相比,其  $\Delta H$  明显减小了,这显示出纳米 CuO/CB

混合物对 RDX 分解反应的深度有影响, 虽分解反应速率加快, 但反应深度不足, 导致反应热量释放相应降低。另外, 在 RDX/CB/NCuO 的 DSC 曲线上也有一个小放热峰(253.7 °C)与 RDX 分解放热峰相连, 比较 RDX/NCuO(2:1)(图 4)、RDX/CB 和 RDX/CB/NCuO(图 5)三条 DSC 曲线, 可看出 CB 单独存在时, 未产生此小峰。当纳米 CuO 存在时, 此小峰均存在, 且峰温较接近。因此, 我们认为, 此小峰仍是纳米 CuO 与 RDX 分解残渣相互作用而形成的。

## 4 结 论

(1) 用室温固相反应合成纳米 CuO 粉体的方法可行, 其工艺简单、产率高、反应条件易掌握。同时, 可避免或减少传统液相方法易出现的硬团聚现象。

(2) 纳米 CuO 对 RDX 的热分解有催化作用, 可使 RDX 的分解放热峰峰温前移 12 °C, 分解反应速率增大。纳米 CuO 的含量增加对 RDX 热分解的催化效果增大, 不仅加快了分解反应速率, 而且增大了分解反应的深度。纳米 CuO 对 RDX 的热分解催化作用与普通 CuO 明显不同。

(3) 纳米 CuO 与炭黑混合也能降低 RDX 的分解

(上接第 253 页)

1.5, 2.0, 2.5, 3.0, 4.0 MPa 下燃烧, 粒子统计尺寸随燃烧室压强的变化规律。在 0.1 MPa~3 MPa 范围内,  $d_{43}$ ,  $d_{32}$  和  $d_{10}$  不随压强变化, 而在 3 MPa~4 MPa 范围内, 粒子统计尺寸增加, 说明在燃烧室压强高时, 药面上的铝粉凝聚现象加剧, 同时, 推进剂燃速提高, 燃烧场粒子增加, 燃烧的粒子也发生凝聚。

## 4 结 论

为定量描述含铝复合推进剂燃烧场  $\text{Al}_2\text{O}_3$  凝相粒子尺寸分布, 在燃烧场内安装 50  $\mu\text{m}$  钨铼丝标定栅, 给出拍摄图像确切的空间位置。同时, 用 2:1 放大透镜对视场进行放大, 使测量系统分辨率提高一倍, 可测最小粒子为 5  $\mu\text{m}$ 。

粒子统计尺寸( $d_{10}$ ,  $d_{32}$ ,  $d_{43}$ )随滞留时间增加而减小, 粒子总数和不同尺寸粒子数都随滞留时间增加而大幅度减少, 粒子越大, 减少的相对比例也越大。

丁羟推进剂含 15  $\mu\text{m}$  铝量为 2%, 6%, 10% 和

峰温, 使 RDX 热分解反应速率明显加快, 但使 RDX 的分解反应深度不足, 放热量减少。

## 参 考 文 献:

- [1] 陈福泰, 罗运军, 多英全, 等. 纳米级碳酸铅在 NEPE 推进剂中的应用[J]. 推进技术, 2000, 21(1).
- [2] 陈沛, 赵凤起, 杨栋, 等. 纳米级金属粉对 GAP 热分解特性的影响[J]. 推进技术, 2000, 21(5).
- [3] 马凤国, 季树田, 吴文辉, 等. 纳米氧化铅为燃速催化剂的应用研究[J]. 火炸药学报, 2000, 23(2).
- [4] 邓鹏图, 田德余, 赵恂, 等. 超细  $\text{CaCO}_3$  对丁羟复合固体推进剂燃烧及工艺性能的影响[J]. 推进技术, 1998, 19(1).
- [5] 张汝冰, 李凤生. 复合纳米材料制备研究(iv)[J]. 火炸药学报, 1999, 22(1).
- [6] 李上文, 赵风起. 铜化合物作燃烧催化剂的固体推进剂的探索[J]. 火炸药学报(原兵工学报, 火化工分册), 1986, (1).
- [7] Klug H, Alexander L E. X-ray diffraction procedures (2ed) [M]. New York: John Wiley and Sons Inc, 1974, 618.

(编辑: 盛汉泉)

16% 的 4 种配方, 在压强 2 MPa 下燃烧, 粒子统计尺寸不随含铝量变化, 不同尺寸粒子的比例变化不大。

含铝 6% 的推进剂在 7 种燃烧室压强 0.1, 1.0, 1.5, 2.0, 2.5, 3.0 和 4.0 MPa 下的燃烧, 粒子统计尺寸在 3 MPa 以下不随压强变化, 在 3 MPa~4 MPa 范围内, 随压强增加略有增加。

## 参 考 文 献:

- [1] Laredo D, Mc Crorie J D, Vaughn J K, et al. Motor and plume particle size measurements in solid propellants micro motors [J]. Journal of propulsion and power, 1994, 10(3).
- [2] 张炜, 曹泰岳, 王宁飞, 等. 铝粉颗粒燃烧产物的平均弥散度计算研究[J]. 推进技术, 1997, 18(2).
- [3] 方丁酉. 两相流体力学[M]. 北京: 国防科技大学出版社, 1988.
- [4] Widener J F, Bechstead M W. Aluminum combustion modeling in solid propellant combustion products[R]. AIAA98-3824.

(编辑: 盛汉泉)